

УДК 542.65:66.093:661.887

Получение цитратов висмута (III) осаждением из растворов минеральных кислот

Е. С. НАЙДЕНКО, Ю. М. ЮХИН, Л. И. АФОНИНА

*Институт химии твердого тела и механохимии Сибирского отделения РАН,
ул. Кутателадзе, 18, Новосибирск 630128 (Россия)*

E-mail: vivienne@ngs.ru

(Поступила 14.06.11; после доработки 02.08.11)

Аннотация

Методами рентгенофазового анализа, ИК- и КР-спектроскопии, термогравиметрии и химического анализа исследовано осаждение цитратов висмута (III) из растворов хлорной, азотной и хлороводородной кислот при добавлении к ним растворов лимонной кислоты или трехзамещенного цитрата натрия. Определены условия образования соединений состава $\text{BiC}_6\text{H}_5\text{O}_7$, $\text{BiOC}_6\text{H}_7\text{O}_7 \cdot \text{H}_2\text{O}$ и $\text{Bi}_6(\text{OH})_6(\text{C}_6\text{H}_5\text{O}_7)_4 \cdot 6\text{H}_2\text{O}$. Показано, что цитрат висмута (III) состава $\text{BiC}_6\text{H}_5\text{O}_7$, используемый в медицине при синтезе фармацевтических препаратов и в микробиологии при производстве бактерийных препаратов, целесообразно получать осаждением из азотокислых растворов производства соединений висмута с добавлением к ним растворов лимонной кислоты; молярное отношение цитрат-ионов к ионам висмута в растворе должно составлять 1.1–1.2, температура процесса – $(60 \pm 5)^\circ\text{C}$.

Ключевые слова: цитрат висмута (III), осаждение, минеральные кислоты

ВВЕДЕНИЕ

В последнее время лекарственные препараты на основе цитрата висмута находят широкое применение в медицине для лечения заболеваний желудочно-кишечного тракта [1]. В качестве фармакопейного препарата преимущественно используется цитрат висмута состава $\text{BiC}_6\text{H}_5\text{O}_7$ – основной компонент лекарственных препаратов для лечения язвенных болезней желудка и двенадцатиперстной кишки (“Де-Нол” фирмы Yamanouchi Europe, Нидерланды; “Пилорид” компании Glaxo Wellcome Operations, Великобритания; “Трибимол” фирмы Torrent, Индия). В кислой среде желудочно-кишечного тракта эти препараты образуют на поверхности язв и эрозий защитную пленку, которая способствует рубцеванию и предохраняет от воздействия желудочного сока. Они оказывают бактерицидное действие на *Helicobacter pylori* – микрорганизмы, которые в ряде случаев способ-

ствуют возникновению хронического гастрита и рецидивированию язвенной болезни. Цитрат висмута (III) используют также для приготовления питательных сред при производстве бактерийного препарата висмут-сульфит агара, который создает строго селективную среду для выделения сальмонелл.

Лимонная кислота наряду с ее солями (цитратами) широко применяется в фармацевтике и в пищевой промышленности (Е330). Будучи слабой трехосновной органической оксикислотой, она способна образовывать различные комплексы с ионами металлов. В литературе описаны различные составы соединений висмута с лимонной кислотой. Показано [2], что из молочно-уксуснокислого раствора при молярном соотношении оксида висмута к лимонной кислоте, равному 1 : 1, висмут осаждается в виде соединения состава $(\text{BiOH})_3(\text{C}_6\text{H}_5\text{O}_7)_2$. Цитрат висмута состава $\text{BiC}_6\text{H}_5\text{O}_7$ получен в результате добавления раствора нитрата висмута в раствор цитрата

аммония и последующего нагрева смеси на паровой бане [3], а также взаимодействием твердого основного нитрата висмута с раствором лимонной кислоты при температуре процесса (60 ± 10) °C [4]. Установлено, что цитрат висмута состава $\text{BiC}_6\text{H}_5\text{O}_7 \cdot \text{H}_2\text{O}$ образуется в виде осадка при добавлении раствора лимонной кислоты в висмутсодержащий раствор, полученный в результате растворения нитрата висмута в ледяной уксусной кислоте, а также при взаимодействии гидроксида или оксокарбоната висмута с раствором лимонной кислоты при кипячении [5].

Основной промышленный способ получения соединений висмута, как с органическими, так и с неорганическими анионами, – гидролитическое осаждение. Для исследования составов осаждаемых соединений висмута целесообразно использовать хлорнокислые растворы, в которых висмут не образует комплексов с перхлорат-ионами. При разбавлении водой таких растворов, в отличие от растворов солей висмута в других минеральных кислотах (серной, азотной, хлороводородной), не происходит образования осадков смешанных гидроксокомплексов висмута, содержащих анионы минеральных кислот. С практической точки зрения интерес представляют азотнокислые растворы, обычно используемые в промышленности при получении соединений висмута, а также солянокислые растворы, используемые в гидрометаллургии висмута [6].

В настоящей работе представлены результаты исследования процессов осаждения цитратов висмута (III) из растворов хлорной, азотной и хлороводородной кислот, влияния концентрации цитрат-ионов, температуры и pH среды на степень осаждения висмута (III), а также на состав продуктов осаждения.

ЭКСПЕРИМЕНТАЛЬНАЯ ЧАСТЬ

В работе использовали минеральные кислоты, соли и щелочи квалификации “х. ч.” или “ос. ч.”. Исходные растворы перхлората (940 г/л), нитрата (296 г/л) и хлорида (230 г/л) висмута готовили растворением оксида висмута квалификации “ос. ч. 13-3” в хлорной, азотной и хлороводородной кислотах соответственно с концентрацией 6 моль/л. Осадки,

полученные в результате добавления к висмутсодержащим растворам лимонной кислоты или раствора трехзамещенного цитрата натрия, отделяли от маточного раствора фильтрацией, промывали дистиллированной водой и сушили на воздухе. Содержание висмута в растворах и осадках определяли фотоколориметрическим методом в присутствии КI на приборе КФК-2. Продукты осаждения предварительно растворяли в азотной кислоте (1 : 1). Определение анионов лимонной и азотной кислот в твердых продуктах реакций проводили после их перевода в раствор предварительной обработкой осадков раствором 2 М NaOH при 70–90 °C. Концентрацию нитрат-ионов определяли вольтамперометрическим методом на медном обновляемом электроде [7], содержание цитрат-ионов – методом перманганатометрического титрования [8]. Содержание углерода и водорода в синтезированных образцах определяли в Лаборатории микроанализа ЦКП СО РАН (Новосибирск) с помощью модифицированного метода Прегля с гравиметрическим окончанием анализа. Рентгенофазовый анализ (РФА) продуктов реакции проводили с использованием дифрактометра ДРОН-3, CuK_{α} -излучение. Скорость вращения счетчика составляла 0.5 град/мин. Кривые дифференциально-термического анализа (ДТА) и изменения массы (ТГ) исследуемых образцов снимали на дериватографе фирмы МОМ (Венгрия) на воздухе при скорости нагрева 5–10 °C/мин. Спектры поглощения в ИК-области ($400\text{--}4000\text{ cm}^{-1}$) записывали на спектрофотометре Specord 75 IR. Образцы готовили в виде таблеток с прокаленным KBr. Значения pH растворов изменили с помощью pH-метра OP-264/1 (Венгрия) с использованием стеклянного или обновляемого твердого электрода.

РЕЗУЛЬТАТЫ И ОБСУЖДЕНИЕ

Висмут в разбавленных растворах хлорной кислоты при концентрациях менее $1 \cdot 10^{-5}$ моль/л существует в виде моноядерных форм состава Bi(OH)^{3-x} , где $x = 0\text{--}4$. С повышением общей концентрации висмута в растворе имеет место образование полимерных гидроксокомплексов. Исследование полиядерных

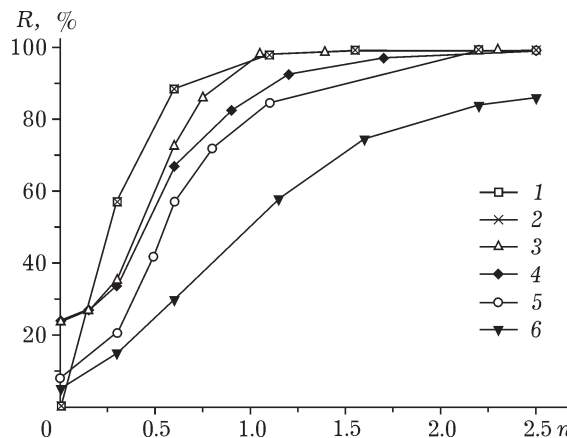


Рис. 1. Зависимость степени осаждения висмута (R) от молярного отношения цитрат-ионов к висмуту в растворах (n): 1, 2 – HClO_4 (H_3Cit); 3, 5 – HNO_3 (Na_3Cit); 4 – HNO_3 (H_3Cit); 6 – HCl (Na_3Cit). Температура, °C: 22 (2, 5) и 60 (1, 3, 4, 6).

форм гидроксокомплексов висмута (III) [9] свидетельствует о том, что в области значений pH 1.0–2.0, обычно используемых при гидролитической переработке висмутсодержащих растворов, образуются гексаядерные комплексы состава $\text{Bi}_6(\text{OH})_{12}^{6+}$. При увеличении кислотности раствора до pH > 3.0 образуются комплексы с более высокой степенью полимеризации: $\text{Bi}_9(\text{OH})_{22}^{5+}$, $\text{Bi}_9(\text{OH})_{21}^{6+}$, $\text{Bi}_9(\text{OH})_{20}^{7+}$. В более поздних работах с использованием рентгенографических [10] и ЯМР-исследований [11] установлено, что гексаядерный комплекс имеет состав $\text{Bi}_6\text{O}_4(\text{OH})_4^{6+}$. Проведенные исследования по осаждению цитрата висмута из висмутсодержащих хлорнокислых растворов (рис. 1) свидетельствуют о том, что при добавлении к ним растворов лимонной кислоты при температурах процесса 20 и 60 °C и молярном отношении цитрат-ионов к висмуту $n = 0.28$ – 0.7 данный комплекс разрушается, и висмут осаждается в виде рентгеноаморфного цитрата (рис. 2, кривая 1) состава $\text{Bi}_6(\text{OH})_6(\text{C}_6\text{H}_5\text{O}_7)_4 \cdot 6\text{H}_2\text{O}$. Степень осаждения висмута при $n = 0.7$ составляет около 96 %. Осадки имеют следующий состав (в скобках указано вычисление значение), %: висмут 55.70 (56.47), цитрат-ионы 33.57 (34.07), углерод 12.41 (12.98), водород 1.70 (1.73); молярное отношение цитрат-ионов к висмуту в осадке $n = 0.67 \pm 0.01$. Соединение с аналогич-

ным значением n получено ранее при осаждении висмута из молочно-уксуснокислых растворов, и ему приписан состав $(\text{BiOH})_3(\text{C}_6\text{H}_5\text{O}_7)_2$ [2], а соединение состава $[\text{Bi}_6(\text{OH})_6(\text{C}_6\text{H}_5\text{O}_7)_4]_n$ зарегистрировано в России фирмой Yamanuchi Europe в качестве лекарственной субстанции, которая используется при приготовлении противовоззенного препарата “Де-Нол” [12].

При увеличении концентрации цитрат-ионов в системе степень осаждения висмута возрастает, и в области значений $n = 1.0$ – 2.3 она достигает 99.8–99.9 %. При температуре процесса (22 ± 2) °C висмут осаждается в виде соединения состава $\text{BiOC}_6\text{H}_7\text{O}_7 \cdot \text{H}_2\text{O}$, имеющего дифракционные максимумы со значениями d/n , равными 10.26, 5.63, 4.64, 3.92, 3.76, 3.55, 3.37, 3.12, 2.93, 2.89, 2.51, 2.37, 2.20, 2.11, 1.97 Å (см. рис. 2, кривая 2). Осадок имеет следующий состав (в скобках указано вычисление значение), %: висмут 48.38 (48.14), цитрат-ионы 43.82 (44.03), углерод 16.70 (16.60), водород 1.88 (2.09); $n = 0.98 \pm 0.03$. Соединения подобного состава осаждаются при добавлении к хлорнокислым висмутсодержащим рас-

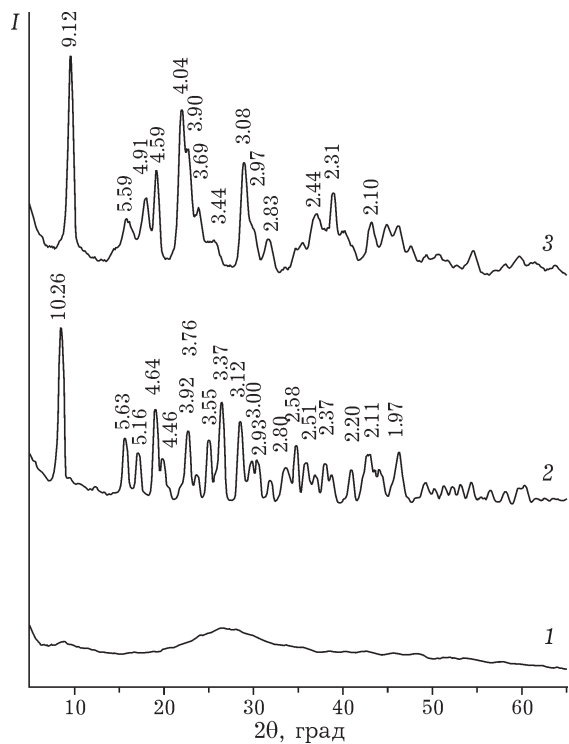


Рис. 2. Дифрактограммы образцов цитратов висмута: 1 – $\text{BiC}_6\text{H}_5\text{O}_7$, 2 – $\text{BiOC}_6\text{H}_7\text{O}_7 \cdot \text{H}_2\text{O}$, 3 – $\text{Bi}_6(\text{OH})_6(\text{C}_6\text{H}_5\text{O}_7)_4 \cdot 6\text{H}_2\text{O}$.

творм галловой [13], бензойной [14] или салициловой [15] кислот. В случае проведения процесса при температуре 60 °C в исследованной области $n = 1.0\text{--}2.3$ висмут осаждается в виде соединения состава $\text{BiC}_6\text{H}_5\text{O}_7$, имеющего дифракционные максимумы со значениями d/n , равными 9.12, 4.59, 4.04, 3.08, 2.10 Å (см. рис. 2, кривая 3). Осадок имеет следующий состав (в скобках указано вычисленное значение), %: висмут 51.62 (52.50), цитрат-ионы 46.24 (47.50), углерод 17.88 (18.10), водород 1.20 (1.27); $n = 0.99 \pm 0.02$. Следует отметить, что соединение подобного состава может быть получено также при проведении процесса при комнатной температуре и последующем нагревании пульпы до 60 °C.

По данным РФА, при осаждении висмута из азотнокислых растворов без цитрат-ионов при температуре процесса 22 °C образуется основной нитрат состава $[\text{Bi}_6\text{O}_4(\text{OH})_4](\text{NO}_3)_6 \cdot 4\text{H}_2\text{O}$, а при 60 °C – состава $[\text{Bi}_6\text{O}_4(\text{OH})_4](\text{NO}_3)_6 \cdot \text{H}_2\text{O}$ [16, 17]. При температурах 22 и 60 °C и молярном отношении цитрат-ионов к висмуту в системе $n \leq 0.7$ висмут осаждается в виде соединения состава $\text{Bi}_6(\text{OH})_6(\text{C}_6\text{H}_5\text{O}_7)_4 \cdot 6\text{H}_2\text{O}$. При температуре процесса 22 °C при $n = 1.0\text{--}2.5$ осадок представляет собой моногидрат оксоцитрата висмута состава $\text{BiOC}_6\text{H}_7\text{O}_7 \cdot \text{H}_2\text{O}$, а при температуре 60 °C – цитрат висмута.

Из данных рис. 1 видно, что при осаждении из азотнокислых растворов степень осаждения висмута с ростом температуры возрастает (см. рис. 1, кривые 3 и 5). Последнее обусловлено тем, что комплексообразование висмута с нитрат-ионами протекает в основном по экзотермическим реакциям [18]. Вследствие этого с ростом температуры снижается значение функции закомплексованности висмута с нитрат-ионами и, соответственно, повышается его извлечение в осадок в виде цитрата. Кроме того, в случае осаждения висмута из азотнокислых растворов при использовании в качестве доноров цитрат-ионов вместо лимонной кислоты цитрата натрия (см. рис. 1, кривые 3 и 4) степень осаждения висмута повышается, что обусловлено снижением концентрации ионов водорода в растворе. Следует отметить, что в случае использования цитрата натрия при $n \geq 1.1$ цитрат висмута начинает осаждаться в виде натри-

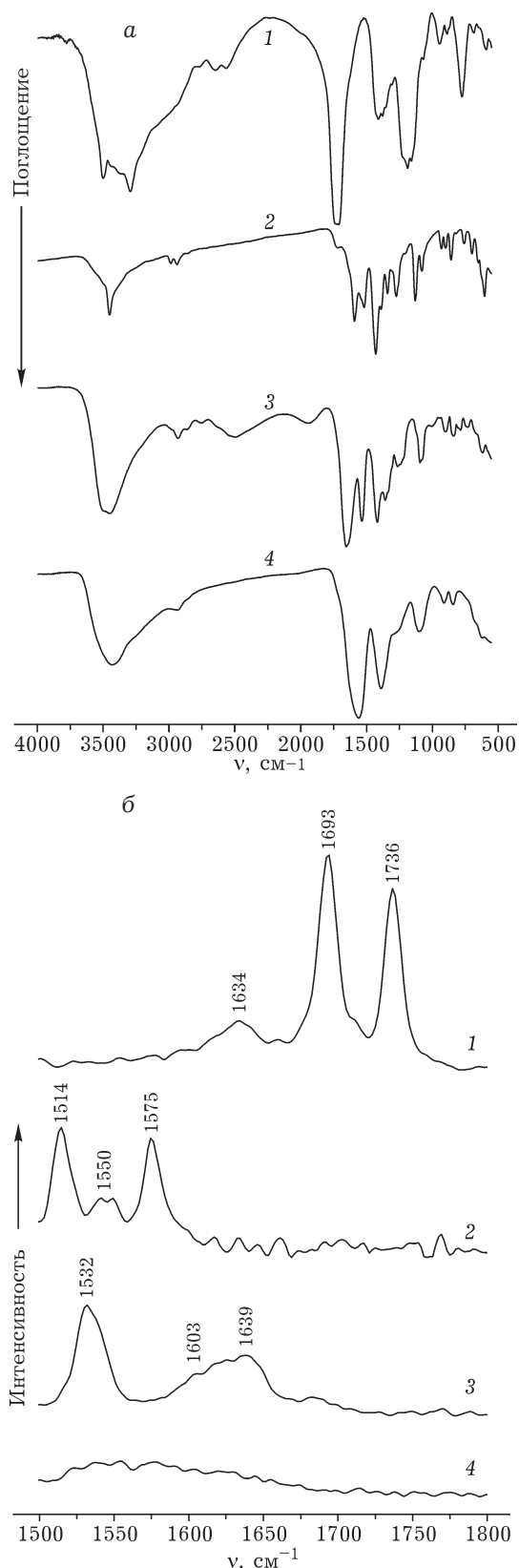


Рис. 3. ИК- (а) и КР- (б) спектры поглощения лимонной кислоты и продуктов осаждения висмута: 1 – $\text{C}_6\text{H}_5\text{O}_7 \cdot \text{H}_2\text{O}$, 2 – $\text{BiC}_6\text{H}_5\text{O}_7$, 3 – $\text{BiOC}_6\text{H}_7\text{O}_7 \cdot \text{H}_2\text{O}$, 4 – $\text{Bi}_6(\text{OH})_6(\text{C}_6\text{H}_5\text{O}_7)_4 \cdot 6\text{H}_2\text{O}$.

евой соли, как при комнатной, так и при повышенной температуре.

Из растворов хлороводородной кислоты, как свидетельствуют данные РФА, при $n = 0.3\text{--}1.2$ и использовании трехзамещенного цитрата натрия висмут осаждается только в виде оксохлорида состава BiOCl . При увеличении n до 2.3 образуется натриевая соль цитрата висмута.

Таким образом, при осаждении висмута из хлорно- и азотнокислых растворов в зависимости от отношения цитрат-ионов к висмуту в системе и температуры процесса наблюдается образование трех соединений: $\text{BiC}_6\text{H}_5\text{O}_7$ (**I**), $\text{BiOC}_6\text{H}_7\text{O}_7 \cdot \text{H}_2\text{O}$ (**II**) и $\text{Bi}_6(\text{OH})_6(\text{C}_6\text{H}_5\text{O}_7)_4 \cdot 6\text{H}_2\text{O}$ (**III**). Выводы о составах полученных соединений сделаны нами как на основании анализа данных химического анализа, рентгенографических исследований, так и на основании результатов ИК- и КР-спектроскопии, а также термогравиметрии.

Об особенностях строения цитратов висмута судили по данным анализа спектров поглощения ИК и КР (рис. 3). Отнесение характеристических полос в спектрах проводили путем сравнения со спектрами лимонной кислоты и цитратов других металлов [19, 20]. В спектрах цитратов висмута появляются полосы асимметричных $\nu_{as}(\text{COO}^-)$ валентных колебаний карбоксилатных группировок при 1592 и 1516 cm^{-1} (ИК) (**I**), 1579 и 1516 cm^{-1} (КР) (**I**); 1675, 1642 и 1533 cm^{-1} (ИК) (**III**), 1680, 1638 и 1532 cm^{-1} (КР) (**II**); 1558 (ИК) (**III**) и 1559 cm^{-1} (КР) (**III**) и симметричных $\nu_s(\text{COO}^-)$ колебаний карбоксилатных группировок при 1424 cm^{-1} (ИК, КР) (**I**, **II**), 1391 cm^{-1} (ИК) (**III**) и 1402 cm^{-1} (КР) (**III**). Кроме того, наблюдается исчезновение полос валентных колебаний карбонильной группы $\nu(\text{C=O})$ при 1739 cm^{-1} (ИК, КР), имеющихся в спектрах исходной лимонной кислоты [21], что соответствует превращению карбоксильных групп в анионную форму. Разность между симметричными и асимметричными валентными колебаниями $\Delta(\nu_{as} - \nu_s)\text{COO}^-$ в спектрах соединений **I** и **III** не превышает 170 cm^{-1} , что указывает на преимущественно бидентатную координацию цитратного аниона, тогда как в спектре соединения **II** ее максимальное значение достигает 250 cm^{-1} . Это свидетельствует о том, что некоторые карбоксильные группы лимон-

ной кислоты свободны или координированы к Bi^{3+} по монодентатному типу. В спектре соединения **I** валентные колебания $\nu(\text{OH})$ свободной гидроксильной группы лимонной кислоты проявляются в виде узкой сильной полосы при 3452 cm^{-1} в ИК-спектре и очень слабой (3455 cm^{-1}) – в КР-спектре. Колебаний, со-

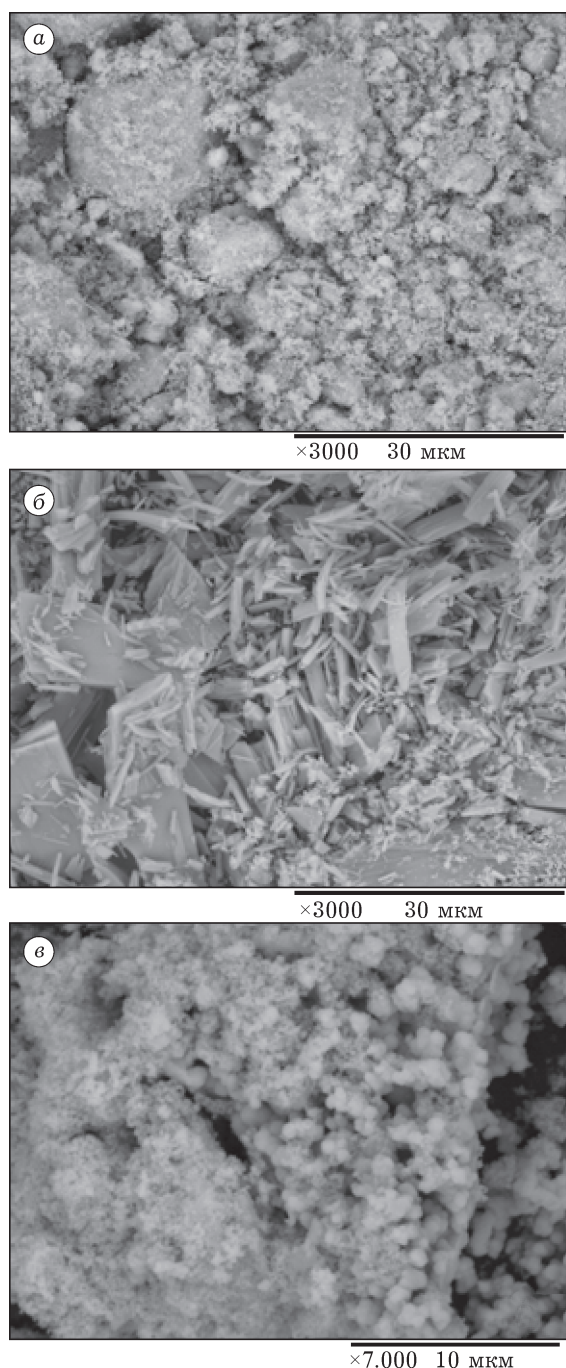


Рис. 4. Микрофотографии образцов гексагидрата гидроксоцитрата (а), моногидрата оксоцитрата (б) и цитрата (в) висмута.

ответствующих молекулам воды, не наблюдается. В цитратах **II** и **III** в области ниже 3500 см⁻¹ присутствуют широкие полосы поглощения, которые экранируют $\nu(\text{OH})$ (свободной гидроксильной группы) и относятся к валентным колебаниям молекул связанный воды. Кроме того, наличие широкого поглощения в области 2700–2200 см⁻¹ в ИК-спектре соединения **II** обусловлено, по всей видимости, наличием межмолекулярных водородных связей [11].

На рис. 3, б приведены КР-спектры лимонной кислоты соединений **I**, **II** и **III** в области частот 1500–1800 см⁻¹. В спектре лимонной кислоты присутствуют четкие узкие полосы поглощения при 1736 и 1693 см⁻¹, а также полоса меньшей интенсивности при 1634 см⁻¹. Первые две полосы соответствуют валентным колебаниям $\nu(\text{C=O})$ центральной и боковых $\nu(\text{C=O})$ карбоксильных групп соответственно. Эти полосы используются для определения координации карбоксильных групп $-\text{COOH}$ лимонной кислоты атомом металла. На кривой 2 наблюдается сдвиг сигнала с 1736 до 1575 см⁻¹, что указывает на связывание центральной группы $-\text{COOH}$ с ионом висмута. Также наблюдается смещение полосы поглощения с 1693 до 1550 см⁻¹ и ее уширение, что, возможно, объясняется координацией обоих боковых карбоксилов с ионом Bi^{3+} . Смещение полос с 1634 до 1514 см⁻¹ и увеличение ее интенсивности можно связать с увеличением электронной плотности комплексного катиона в системе, которая соответствует атому висмута с высокой электронной плотностью [22]. Смещение полос с 1736 до 1639 см⁻¹ ($\Delta\nu_{\text{as}} = 97 \text{ см}^{-1}$) и с 1693 до 1603 см⁻¹ ($\Delta\nu_s = 90 \text{ см}^{-1}$) со снижением интенсивности (см. рис. 3, б, кривая 3), вероятно, свидетельствует о различной координации карбоксилов лимонной кислоты атомом висмута. Также наблюдается смещение полосы поглощения с 1639 до 1532 см⁻¹, аналогично КР-спектру соединения **I**. В случае соединения **III** (см. рис. 3, б, кривая 4) все полосы поглощения смещены и сильно уширены, что может быть связано с его сложной полиядерной структурой.

Электронно-микроскопические исследования (рис. 4) свидетельствуют о том, что средний цитрат висмута представляет собой агрегаты размером до 10 мкм, состоящие из

мелких кристаллов размером порядка 0.1 мкм. Образцы моногидрата оксоцитрата висмута представляют собой удлиненные призматические кристаллы длиной до 15 мкм, а в попечерном сечении – от 0.5 до 3 мкм. Гексагидрат гидроксоцитрата висмута сложен агрегатами с размером до 5 мкм, состоящими из мелких

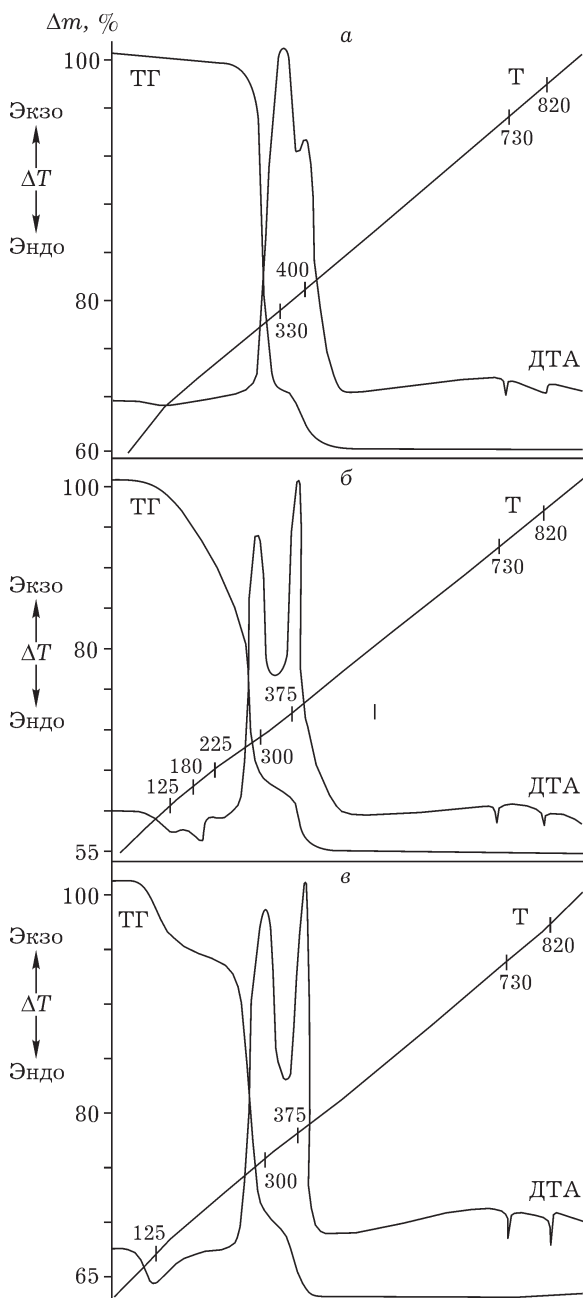


Рис. 5. Термограммы образцов $\text{BiC}_6\text{H}_5\text{O}_7$ (а), $\text{BiOC}_6\text{H}_7\text{O}_7 \cdot \text{H}_2\text{O}$ (б), $\text{Bi}_6(\text{OH})_6(\text{C}_6\text{H}_5\text{O}_7)_4 \cdot 6\text{H}_2\text{O}$ (в) на воздухе. Навеска образцов 200 мг.

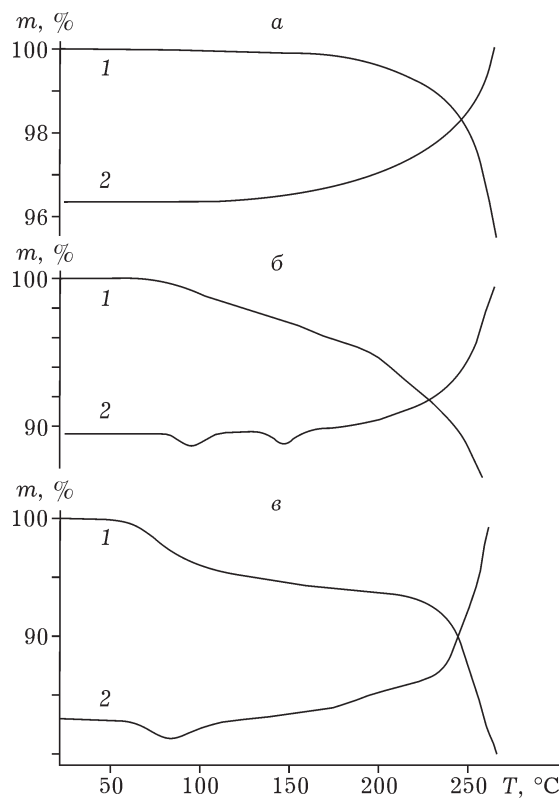


Рис. 6. Кривые нагревания соединений I (а), II (б), III (в): 1 – ТГ, 2 – ДСК при скорости нагревания 2.5 °С/мин. Навеска образца 1.5 г.

аморфных частиц размером 0.1–0.5 мкм и отдельных частиц данного размера.

Данные ДТА и термогравиметрического (ТГ, ДТГ) анализа (рис. 5, а и 6, а) свидетельствуют о том, что средний цитрат висмута $\text{BiC}_6\text{H}_5\text{O}_7$ устойчив до температуры 200 °С, после чего начинается разложение цитрат-иона (экзотермические эффекты при 330 и 400 °С, сопровождающиеся потерей массы) и последующее образование оксида висмута (III). Эндотермические эффекты при 730 и 820 °С соответствуют полиморфному превращению моноклинной α -модификации Bi_2O_3 в кубическую гранецентрированную высокотемпературную модификацию $\beta\text{-Bi}_2\text{O}_3$, которая устойчива до температуры плавления оксида 824 °С (эндоэффект в области 810–850 °С) [23]. Рассчитанные значения потери массы (41.47 %), связанные с разложением $\text{BiC}_6\text{H}_5\text{O}_7$ до Bi_2O_3 , согласуются с найденными значениями (41.2 %). Процесс разложения соединения II (см. рис. 5, б) начинается с удаления

одной молекулы воды (эндоэффекты при 125 и 180 °С), потеря массы при этом составляет 4.2 %. С повышением температуры происходит удаление второй молекулы воды и образование цитрата висмута состава $\text{BiC}_6\text{H}_5\text{O}_7$, о чем свидетельствуют рентгенографические данные. Экзоэффекты при 300 и 375 °С соответствуют разрушению цитрат-иона и образованию оксида висмута. Рассчитанные значения потери массы составляют 46.33 %, найденные – 45.9 %. Удаление молекул воды из соединения III реализуется в одну стадию при температуре 125 °С и сопровождается потерей массы, равной 4.4 %, что соответствует шести молекулам воды. Рассчитанные потери массы для данного соединения составляют 4.87 %, найденные – 4.6 %. Из данных рис. 5 видно, что нагревание образцов во всех случаях завершается образованием оксида висмута, т. е. оксид висмута можно получать путем термического разложения его цитратов.

ЗАКЛЮЧЕНИЕ

Таким образом, висмут осаждается из хлорно- и азотнокислых растворов в виде трех соединений различного состава в зависимости от концентрации добавляемой в систему лимонной кислоты и температуры процесса. При осаждении из хлорно- и азотнокислых растворов добавлением к ним растворов лимонной кислоты или цитрата натрия при температурах (22±2) и (60±2) °С и отношении цитрат-ионов к висмуту $n \leq 0.7$ висмут осаждается в виде рентгеноаморфного продукта состава $\text{Bi}_6(\text{OH})_6(\text{C}_6\text{H}_5\text{O}_7)_4 \cdot 6\text{H}_2\text{O}$. При температуре процесса (22±2) °С и молярном отношении цитрат-ионов к висмуту (III) в растворе $n \geq 1.0$ висмут осаждается в виде соединения состава $\text{BiOC}_6\text{H}_7\text{O}_7 \cdot \text{H}_2\text{O}$, а при температуре (60±5) °С осаждаемое соединение имеет состав $\text{BiC}_6\text{H}_5\text{O}_7$. Показано, что средний цитрат висмута (III) состава $\text{BiC}_6\text{H}_5\text{O}_7$, используемый в медицине и микробиологии, целесообразно получать осаждением из висмут-содержащих растворов добавлением лимонной кислоты или цитрата натрия при молярном соотношении цитрат-ионов к Bi^{3+} в растворе $n = 1.0–1.2$ и температуре процесса (60±5) °С.

СПИСОК ЛИТЕРАТУРЫ

- 1 Машковский М. Д. Лекарственные средства. М.: Новая волна, 2008. С. 1206.
- 2 Кирхгоф Г. А., Спектор М. О. // Хим.-фарм. пром-сть. 1933. № 3. С. 123.
- 3 Швицер Ю. Производство химико-фармацевтических и технокимических препаратов. М.-Л: ОНТИ. 1934. С. 490.
- 4 Афонина Л. И., Найденко Е. С., Юхин Ю. М., Данилова Л. Е. // Хим. уст. разв. 2009. Т. 17, № 3. С. 243.
- 5 Туркевич Н. М. // Укр. хим. журн. 1949. Т. 15, № 2. С. 243.
- 6 Юхин Ю. М., Михайлов Ю. И. Химия висмутовых соединений и материалов. Новосибирск: Изд-во СО РАН, 2001. С. 360.
- 7 Клетеник Ю. Б., Тарасова В. А., Бек Р. Ю. // Журн. анализ. химии. 1987. Т. 42. С. 981.
- 8 Эшворт М. Р. Ф. Титриметрические методы анализа органических соединений. Ч. 2: Методы косвенного титрования. М.: Химия, 1972. С. 1108.
- 9 Olin A. // Acta Chem. Scand. 1959. Vol. 13, No. 13. P. 1791.
- 10 Sundvall B. // Inorg. Chem. 1983. Vol. 22. P. 1906.
- 11 Grenthe I., Toth I. // Inorg. Chem. 1985. Vol. 24, No. 15. P. 2405.
- 12 Де-Нол. Коллоидный субцитрат висмута. Излечение от гастрита и язвенной болезни. Изд. Московского представительства фармацевтической фирмы Яманучи Юроп (Yamanuchi Europe) Нидерланды. Москва, 1977. С. 10. Зарегистрирован в РФ, регистрационный номер П № 012626/01–2001 от 26.01.2001.
- 13 Юхин Ю. М., Логутенко О. А., Ворсина И. А., Евсценко В. И. // Хим. технология. 2009. Т. 10, № 9. С. 520.
- 14 Тимакова Е. В., Удалова Т. А., Юхин Ю. М. // Хим. уст. разв. 2010. Т. 18, № 1. С. 79.
- 15 Тимакова Е. В., Удалова Т. А., Юхин Ю. М. // Журн. неорган. химии. 2009. Т. 54, № 6. С. 937.
- 16 Lazarini F. // Cryst. Struct. Commun. 1979. Vol. 8. P. 69.
- 17 Афонина Л. И., Юхин Ю. М., Ворсина И. А. // Сиб. хим. журн. 1993. Вып. 3. С. 13–19.
- 18 Федоров В. А., Калош Т. Н., Миронов В. Е. // Журн. неорган. химии. 1971. Т. 16, № 4. С. 1014.
- 19 Vanhooyland G., Pagnaer J., D'Haen J., Mullens S., Mullens J. // Solid State Chem. 2005. Vol. 178. P. 166.
- 20 Bovi Mitre M. G., Wierna N. R., Wagner C. C., Baran E. J. // Biolog. Trace Element Res. 2000. Vol. 76. P. 183.
- 21 Беллами Л. Инфракрасные спектры сложных молекул. М: Изд-во иностр. лит. 1963. С.590.
- 22 Zampieri M., Lazaro S. R., Paskocimas C. A. // Sol-Gel Science and Technology. 2006. Vol. 37. P. 9.
- 23 Gattow G., Schutze D. // Z. anorg. Allgem. Chem. 1964. Bd. 328, No. 1–2. S. 44.